



ISSN: 1817-6798 (Print)

Journal of Tikrit University for Humanities

available online at: www.jtuh.org/

JTUH
جامعة تكريت للعلوم الإنسانية
Journal of Tikrit University for Humanities

Tagherrd khaleel mohammed AL-Mamoori

Tikrit University/College of Arts/Department of Applied Geography

* Corresponding author: E-mail :
dr.tagred1976@tu.edu.iq
 07719967757

Keywords:
 BT -OSIVI- -NDVI
 NDVI
 OSAVI
 Soil_Salinity
 NDSI
 OSAVI

ARTICLE INFO

Article history:

Received 15 July 2023
 Received in revised form 25 July 2023
 Accepted 17 Aug 2023
 Final Proofreading 19 Dec 2023
 Available online 21 Dec 2023
 E-mail t-jtuh@tu.edu.iq

©THIS IS AN OPEN ACCESS ARTICLE UNDER
 THE CC BY LICENSE

<http://creativecommons.org/licenses/by/4.0/>



Journal of Tikrit University for Humanities

The Application of the (NDSI) Coefficient to Monitor and Control the Phenomenon of Salinity in the District of Al-Alam Depending on Spectral data of the SATALITE LANDSAT

ABSTRACT

The problem of salinity is one of the main problems facing the soils in the Al-Alam district as it is located within the arid region. The alluvial plain area is slightly sloping. The research deals with the role of natural and human geographical factors and their impact on the spread of the salinity problem in the study area, And its impact on agricultural lands. Through the study, it was found that the study area suffers from severe salinity in many parts, especially the northern and northeastern parts, and in a parallel line from them of land and water and the effect of this on the shrinkage of the arable areas and the decrease in the productivity of the dunum.

© 2023 JTUH, College of Education for Human Sciences, Tikrit University

DOI:<http://doi.org/10.25130/jtuh.30.12.1.2023.09>

تطبيق معامل (NDSI) الدليل الطيفي غير الخضري في رصد ومراقبة ظاهرة التملح في قضاء العلم بالاعتماد على البيانات الطيفية للقمر (LANDSAT 8)

أ.م. د. تغريد خليل محمد/ جامعة تكريت/ كلية الآداب / قسم الجغرافية التطبيقية
الخلاصة:

تعد مشكلة الملوحة من المشكلات الرئيسية التي تواجه الترب في قضاء العلم بوصفها تقع ضمن المنطقة الجافة. ومنطقة السهل الرسوبي قليل الانحدار، بتناول البحث دور العوامل الجغرافية الطبيعية والبشرية وبيان أثرها في انتشار مشكلة الملوحة في منطقة الدراسة، وأثرها في الاراضي الزراعية، ومن خلال الدراسة تبين ان

منطقة الدراسة تعاني تملحا شديدا في اجزاء عديدة وبشكل خاص الاجزاء الشمالية والشمالية الشرقية وبشكل خط موازي منها ويعود سبب ذلك الى ارتفاع درجة الحرارة وزيادة نسبة التبخر وقلة انحدار السطح فضلا عن دور العوامل البشرية والمتمثلة بسوء ادارة الانسان للأرض والمياه وأثر ذلك في تقلص المساحات الصالحة للزراعة وانخفاض معدل انتاجية الدونم.

- 1- القرائن النباتية
- 2- مؤشر الاختلاف الخضري الطبيعي
- 3- مؤشر النبات المعدل للتربة
- 4- .
- 5- مؤشر النبات المعدل للتربة

المقدمة

تعد ظاهرة الملوحة من أخطر المشكلات التي تواجه الترب المروية في المناطق الجافة وشبه الجافة من العالم وتأتي تلك الخطورة من انها مصاحبة لأنماط الأرضي الزراعية في تلك المنطقة فضلا عن انها المصدر الرئيس للمنتجات الزراعية، كما يمكن التحكم بنظامها المائي بسهولة عن طريق الارواء، وبما إن السهل الرسوبي يقع ضمن المنطقة الجافة، لذا فإن الملوحة التي تواجهه تحل مركز الصدارة في الاهتمام بمعالجة مشاكله الزراعية .يتناول البحث دراسة أثر الملوحة في ترب قضاء العلم الذي يمثل إحدى المناطق الزراعية المهمة في الجزء الشمالي من منطقة السهل الرسوبي ، لكونها تعد واحدة من أفضل المناطق الزراعية ليس في محافظة صلاح الدين فحسب وإنما في العراق كله ، لكن هذه المنطقة تعرضت لمشكلة الملوحة بفعل عوامل جغرافية منها ما يتعلق بفعل عدد من العوامل الطبيعية، ولأنها تعد ضمن المناطق الجافة ، ومنها ما يتعلق بفعل عدد من العوامل البشرية لا سيما سوء ادارة الانسان للأرض والمياه.

يهدف البحث الى تسلیط الضوء على آلية استخدام بيانات الأقمار الصناعية في استخراج معامل التملح التي يطلق عليها (NDSI) المشار اليه كدليل طيفي غير خضري في تشخيص أصناف ملوحة الترب (Normalized Difference Salinity Index) والذي يتم استخراجها من قيم البيانات الطيفية، وبحسب الحزم المخصصة لهذا الغرض ولكل قمر صناعي .

في حين أصبحت مشكلة الدراسة هل من الممكن استخدام البيانات الطيفية في رصد ومراقبة نسبة التملح ومساحتها عن طريق البيان الفضائي .

وللجواب عن هذا التساؤل

كان لا بد من استخدام المعادلات الخاصة بالقمر الصناعي شكل (1) و ظهرت لدينا نتائج واضحة لدرجات التملح ، اذ انحصرت المنطقة ضمن ثلات مستويات العالي والمتوسط والمنخفض ولغرض التحقق تمت مطابقتها مع مرئيات الغطاء الأرضي وقد كانت النتائج متطابقة بنسبة كبيرة .

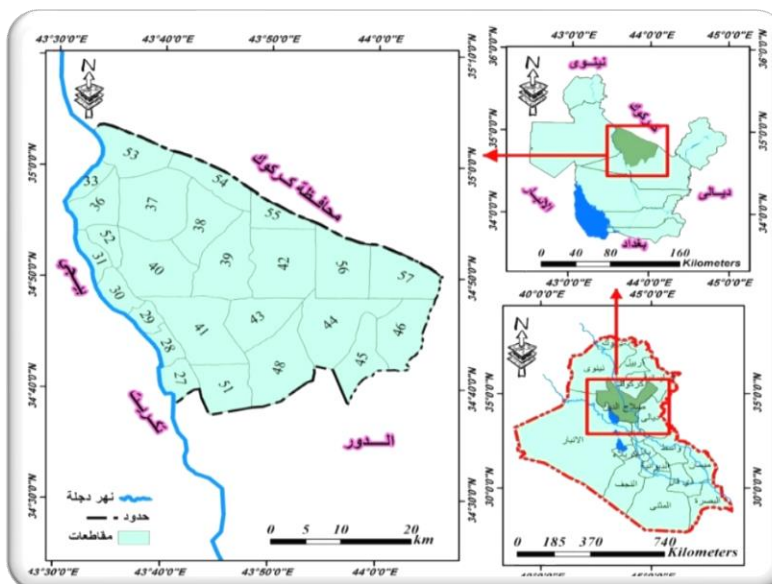
شكل (1)

Landsat 8	435-12510	11	SWIR_1-SWIR_2 SWIR_1+SWIR_2
LandsatETM+ (Landsat7)	450-12500	8	SWIRI-SWIRII SWIRI+SWIRII
LandsatTM (Landsat4,5)	450-12500	7	SWIRI-SWIRII SWIRI+SWIRII

موقع منطقة الدراسة

تقع منطقة الدراسة احدياً بين دائري عرض (٣٣°-٣٤° و ٥٥°-٣٥°) شمالاً وبين خط طول (٣٠°-٤٣° و ٥٥°-٤٤°) شرقاً ، أما حدودها المكانية فيحدها من الشرق والشمال الشرقي سلسلة تلال حمرى ومن الغرب والشمال الغربى نهر دجلة ، أما إدارياً فتقع ضمن محافظة صلاح الدين في القسم الشمالي الشرقي من المحافظة ، يحدها من الشمال الشرقي محافظة كركوك ومن الجنوب قضاء الدور ومن الغرب والشمال الغربي قصائى تكريت وبيجي ، وتبلغ مساحتها (1441,98) كم² ما يعادل (576792) دونم مؤلفه من (26) مقاطعه كما في الخريطة (1)

خريطة (1) موقع منطقة الدراسة بالنسبة للعراق ومحافظة صلاح الدين



المصدر: -جمهورية العراق، الهيئة العامة للمساحة خريطة الوحدات الإدارية في العراق لعام 1999، بمقاييس 1:1000000، مخرجات برنامج (Arc Gic 10.4)

مستلزمات البحث:

1- مرئيات فضائية للقمر الصناعي (لاندسات - Band7) سنة 2009 .

2- نموذج الارتفاع الرقمي DEM_{14M} .

3- خريطة طبوغرافية بمقاييس 1/1000000 .

4- خريطة جيولوجية بمقاييس 1/1000000 .

وعلجت هذه البيانات عن طريق مجموعة من البرامج أهمها :

ARC GIS.V9.3&GPS -1

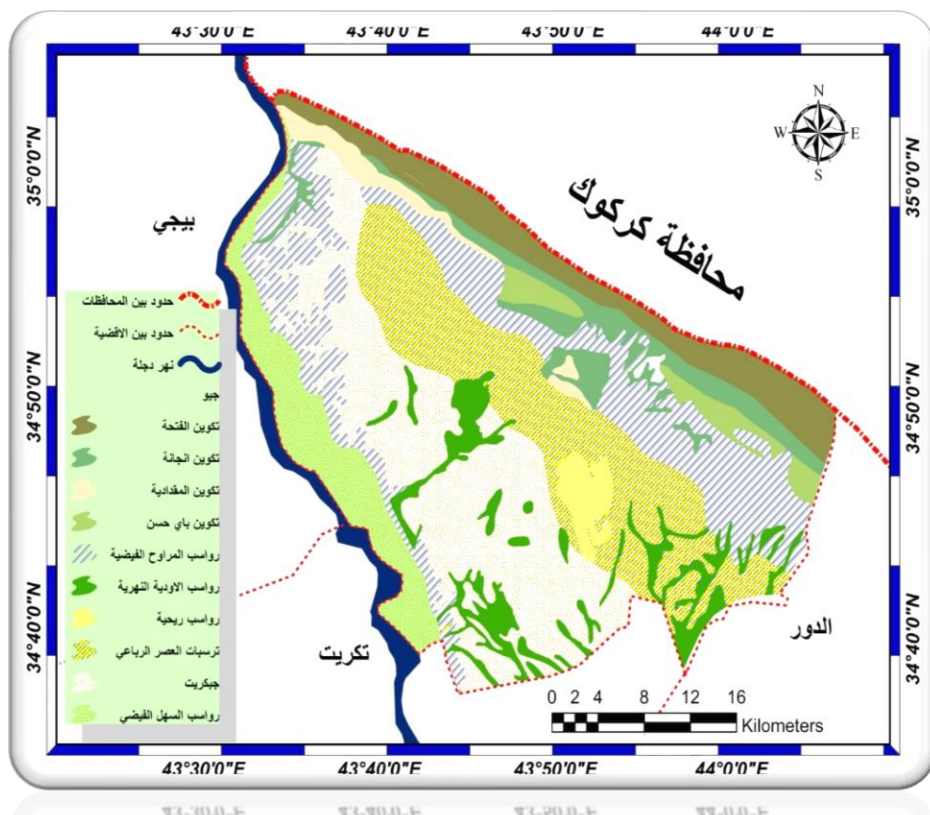
Erdas.V8.4 -2

ومن **الناحية الجيولوجية**:- تقع منطقة الدراسة ضمن النطاق غير المستقر جيولوجيا ضمن التصنيف الثلاثي (جاسم وببودي، 1984، 1987، 1974) في نطاق السهل الرسوبي مابين النهرين ، شمال شرق نهر دجلة وجزئها الشرقي تلال حمرین ، وتدخل المنطقة فوالق تحت سطحية وطيات تركيبية غير ظاهرة على السطح بسبب س מק التربات الحديثة (ورد، 2012) ، إن تأثر المنطقة بمجموعة الصدوع والفوائل تحت السطحية قد انعكس تأثيرها في تنشيط المنطقة تكتونياً والتي بدورها أثرت في مسارات الشبكة المائية (ياسين، 2002)، ومن الأدلة على ذلك وجود عدد من العيون على امتداد الفالق المار بموازاة طيه حمرین الشمالية على امتداد الحد الفاصل بين تكويني انجانة والفتحة ومنها (عين الملح وعين انجانة) (القيسي، 1992)، ويمكن ترتيب التكوينات الجيولوجية من الأقدم إلى الأحدث، كما في الخريطة(2) (السامرائي، 2010).

1- تكوين الفتحة 2- تكوين انجانة 3- تكوين المقدادية

4- تكوين باي حسن 5- إرسابات الزمن الرباعي

الخريطة (2) التكوينات الجيولوجية في منطقة الدراسة



المصدر :- خريطة العراق الجيولوجية ، بمقاييس 1:1000000 ، باستخدام برنامج (Arc Gis 10.4).

- **تكوين الفتحة :** يمتد هذا التكوين على الحافة الشرقية والشمالية الشرقية لمنطقة الدراسة في سلسلة تلال حمرى، يتكون من عدد من الدورات التخbirية والتي تمثل بتعاقب طبقات الحجر الجيري والجبس والانهيدريت والمارل التي يعود عمرها إلى تكوين المايوسين الأوسط ، ويكون التدرج في حجم الحبيبات الفتاتية من الأسفل إلى الأعلى (ورد، ص11، 2012).
- **تكوين انجانه:** يمتد هذا التكوين محاذياً لتكوين الفتحة من جهة الغرب في تلال حمرى ويعود هذا التكوين إلى عصر المايوسين المتأخر والذي يتتألف من الصخور الفتاتية من تعاقب الحجر الطيني والحجر الرملي والحجر الغريني بشكل دورات ترسيبية بحدود 40 دورة ، وتشكل الصخور الطينية نسبة أعلى من الصخور الرملية ، وتظهر صخوره باللون الأحمر أو الأخضر في بعض الأحيان وتظهر ، فيه تراكيب مثل التطبق المتقاطع والتطبق المترادج وكرات الطين ، ويصل سماكه إلى 750 مترًأ (الجبابي، 2010).
- **تكوين المقدادية :** يمتد هذا التكوين على حافة تلال حمرى محاذية لتكوين انجانه في وسط تلال حمرى والفتحة في شمال غرب منطقة الدراسة ، وت تكون صخوره من تعاقب طبقات من الصخور الحصوية الناعمة والخشنة والرملية الحصوية والتي تتعاقب مع طبقات من الصخور

الرملية والغرينية ، ويكون حجم حبيبات الرمل متوسط إلى خشن ، ويتميز بالتراكيب الرسوبية ، ويكون الحد الفاصل السفلي متوفقاً مع تكوين انجانة (امين، 2012).

• **تكوين باي حسن :** ظهر هذا التكوين الذي يعود إلى عصر البلايوستوسين (العصر الجليدي) في الأجزاء الشمالية الشرقية وفي السفوح الشرقية من منطقة الدراسة ، إذ تنتشر مكافحة على طول الطيات المحدبة ، ويكون من تبع صخور رملية ومدملات يكون سمكها 5 أمتار تقريباً ، وان الحصى الموجود في هذه المدملات مختلف الحجوم والألوان وفي الأغلب يكون مفتتاً أو ضعيف الترابط ، ويكون مشابهاً لما موجود في تكوين المقدادية.

• **أرسابات الزمن الرباعي :** يتتألف الزمن الرباعي من : البلايوسین (العصر الجليدي) والهيلوسين (العصر الحديث) والذي يبدأ من 11000 سنة ، وتكون رسوبيات هذا الزمن من رسوبيات متعرية من التكوينات الأقدم (المادة الأم) وتحتوي على الحصى الرملي والغرين والطين ويتراوح سمكها من بضعة سنتيمترات إلى عدة أمتار اعتماداً على موقع ترسبيها ودرجة الانحدار والوضع الجيولوجي للمنطقة المجهزة لها وتشمل :

أ-إرسابات المنحدرات: تنتشر هذه الإرسابات أسفل المنحدرات الشديدة كجماعات لفقات الصخري ، ويتباين حجمها بين الغرين والقطع الصخري الساقطة بفعل الانهيارات من الحجر الجيري والانهيدرایت ضمن تكوين الفتحة (محمد، 2009).

ب-إرسابات المصاطب النهرية : وهي إرسابات نهرية في الغالب لسهول فيضية سابقة لتكوين السهل الفيضي الحالي ، وتظهر إلى جانب القناة النهرية ، وتألف من المواد الغرينية والطينية مع مزيج من الرمال والجبس والحصى الخشن .

ج- التربة الجبسية : تغطي جزءاً كبيراً من منطقة الدراسة ، وتحتوي على تربات من الحصى والغرين والطين وتكون غنية بالجبس ، ويتراوح سمكها بين 3-4 أمتار ويصل في بعض الأحيان إلى 7 أمتار ويطلق عليها اسم الجبكريت ، ومحتوى الجبس في هذه التربات يصل إلى أكثر من 50%.

د- تربات السهل الفيضي : وتكون من تربات نهر دجلة على الجانب الغربي من منطقة الدراسة ، إذ يصل عرضه في بعض المناطق إلى 4 كم وبسمك يصل إلى (5) أمتار من الرمل والغرين والطين .

ه-إرسابات ماء الوديان : تتكون هذه الإرسابات من الحصى والرمل والغرين والطين والجبس الثنائي الذي يمثل المادة اللاحمة والتي مصدرها المناطق المرتفعة المحيطة بها ويصل سمك هذه الإرسابات إلى أكثر من متر واحد (الجبوري، 2013).

و-إرسابات الريحية : تكونت نتيجة لعوامل الترسيب ، إذ امتدت تربات الهيلوسين فوق تربات البلايوستوسين ، لاسيما في السهل التجمعيي وتظهر في منطقة العيت مصدر الرمال

فيها هو الطمى وتكوين انجانة والمقدادية ، إذ تشكلت بفعل عوامل المناخ والعوامل الجغرافية الأخرى (المفرجي، اثر الرياح على زحف الكثبان الرملية في محافظة صلاح الدين، 2013).

المناخ (Climate)

يعد المناخ من أهم العوامل الطبيعية والفعالة في تكوين التربة ، لأن المناخ يتدخل بصورة مباشرة أو غير مباشرة في نشاط ظاهرة التملح او اختفائها، لذا فان التربة تختلف وتتنوع بتنوع الأقاليم المناخية لذا نجد إن المجموعات الرئيسية للتراب ترتبط ارتباطاً وثيقاً بالأقاليم المناخية (ابو سمور ، 2005).

إن تأثير المناخ على التربة ينحصر في تشكيل العمليات الجيمورفولوجية التي تشتمل على العمليات المورفمناخية (التجوية وتحرك المواد) والتي ينتج عنها رواسب في الموضع تمهدًا لنقلها في إحدى العمليات المورفديناميكية (المياه الجارية ، نشاط الرياح)، تقع منطقة الدراسة ضمن المنطقة شبه الجافة إذ تمتاز بصيف شديد الحرارة وشتاء بارد مع أمطار قليلة ، ولغرض التعرف على تأثير المناخ على المنطقة وظاهرة التملح فيما يلي العناصر المناخية المؤثرة وعلى النحو الآتي :

- **السطوع الشمسي:** للسطوع الشمسي أهمية كبيرة إذ يعد الواسطة التي عن طريقها تنتقل حرارة الشمس إلى الأرض والتي تعمل على تسخين التربة بدرجات متقلقة حسب كثافة الغطاء النباتي ولون التربة (العامري، 2005) و نشاط عملية التبخر وتملح التربة، ولا بد من التمييز بين نوعين من السطوع الشمسي وهما الفعلي والنظري:- فالنظري هو معدل ساعات النهار بغض النظر عن العوامل المؤثرة في الإشعاع الشمسي كالغيوم والغبار والعواصف الترابية والحركة الظاهرية للشمس بسبب دوران الأرض حول الشمس فضلاً عن وجود الغيوم في فصل الشتاء والتي تحجب أشعة الشمس من الوصول إلى سطح الأرض ، إذ وصلت مدة السطوع في محطة تكريت إلى أقل معدل لها في شهر كانون الثاني ، إذ بلغت 5.3 ساعة كما مبين في الجدول (1) مقارنة بطول النهار الذي يصل إلى 10 ساعة ، ثم تبدأ بالازدياد لتصل إلى 7.8 ساعات في شهر آذار (الاعتدال الربيعي) مقارنة بطول النهار الذي يصل إلى 12 ساعة ، وتصل ذروتها في شهر حزيران ، إذ تصل إلى 10.7 ساعة (الانقلاب الصيفي) مقارنة بطول النهار الذي يصل إلى 14 ساعة ، ثم تبدأ هذه المعدلات بالتناقص حتى تصل إلى 7.3 ساعات في شهر أيلول (الاعتدال الخريفي) مقارنة بطول النهار الذي يصل إلى 12 ساعة ، وتصل إلى أدنى حد لها في شهر كانون الثاني 5.3 ساعة (الانقلاب الشتوي) .

الجدول (1) المعدلات الشهرية لساعات السطوع الشمسي الفعلي س/ يوم في منطقة الدراسة للمدة (1980-2020)

كانون 1	تشرين 2	تشرين 1	أيلول	أب	تموز	حزيران	أيار	نيسان	آذار	شباط	كانون 2	الأشهر
5.3	6.1	7.4	7.3	8.8	10.3	10.7	10.6	9.6	7.8	6.7	5.3	المعدل

المصدر: وزارة النقل ، الهيئة العامة للأنواء الجوية والرصد الزلزالي ، قسم المناخ ، بغداد ، 2020 ، (بيانات غير منشورة) .

يتضح مما سبق أن ساعات السطوع الشمسي في فصل الصيف أكثر منها في فصل الشتاء ، بسبب طول النهار وصفاء الجو ، فضلاً عن أن زاوية سقوط أشعة الشمس تكون شبه عمودية مما يؤدي إلى زيادة تأثير أشعة الشمس على التربة والصخور وت bxر ما تحتويه من ذرات مطر أو مخزون جوفي .

- درجات الحرارة : تعد درجات الحرارة أهم عناصر المناخ تأثيراً على البيئة وعناصر المناخ الأخرى كالرياح والت bxر والضغط الجوي والتساقط أي أنها المحرك الأساسي للعناصر المناخية كافة (العزوي، الجبوري، 2006)، وبعد الإشعاع الشمسي المصدر الوحيد للطاقة في الغلاف الجوي ، إذ يسهم بما مقداره (99.97 %) من الطاقة المستعملة فضلاً عن كونه يمثل المصدر الرئيس للحرارة الواردة إلى سطح الأرض (السامرائي س.، 2010)، وتعمل الحرارة الوالصة إلى سطح الأرض على تسخينه ويتقاو吐 هذا التسخين بحسب طبيعة سطح الأرض وكثافة الغطاء النباتي الموجود عليها ولون التربة ومقدار الرطوبة فيها (عباس، 1989)، ويتبخ من الجدول (2) أن معدلات درجات الحرارة سجلت أعلى معدلات لها في شهر (تموز وأب)، إذ بلغت (43.9 ، 43.8) م° على الترتيب ، وان أدنى معدلات لها في كانون الثاني (14.2 م°)، أما معدلات درجات الحرارة الصغرى فقد سجلت محطة تكريت أدنى معدلات لها في شهر كانون الثاني ، إذ بلغت 4 م° وأعلى معدل لها في شهر تموز إذ بلغت (28.7 م°) .

جدول (2) معدلات درجات الحرارة

كانون 1	تشرين 2	تشرين 1	أيلول	أب	تموز	حزيران	أيار	نيسان	آذار	شباط	كانون 2	الأشهر
16.4	32.0	32.6	39.2	43.8	43.9	41.0	35.6	28.6	22.5	17.0	14.2	العظمى
5.6	10.2	18.2	23.6	28.2	28.7	25.9	21.3	15.4	9.8	5.6	4.0	الصغرى

المصدر: وزارة النقل ، الهيئة العامة للأنواء الجوية والرصد الزلزالي ، قسم المناخ ، بغداد ، 2020 ، (بيانات غير منشورة) .

يتضح من الجدول (2) التباين الكبير في درجات الحرارة بين فصل الصيف والشتاء وبين درجات الحرارة العظمى والصغرى لهذين الفصلين، وهذا بدوره يؤثر في عمليات تكوين التربة عن طريق عمليات التجوية الفيزيائية والتي يكون الدور الأساسي فيها اختلاف درجات الحرارة مع اختلاف معادن الصخور ومعامل تمددتها مما يؤدي إلى تفتت الصخور بالتجوية الفيزيائية ، وأن النظام الحراري في التربة يحدد شدة العمليات الكيميائية فيها ، إذ إن درجة الحرارة تؤثر في سرعة التفاعلات الكيميائية بحدود 2-3 مرة مع ارتفاع درجة الحرارة (10م°) تقريباً (حديد وآخرون، 1982).

ويظهر ذلك واضحاً في منطقة الدراسة في مناطق السهل التجمعي بصورة خاصة وفي منطقة تلال حمرين بسبب قلة الغطاء النباتي فيها وقلة الاستغلال الزراعي بسبب الاعتماد على الأمطار في فصل الشتاء في الزراعة الديمية في المقاطعات (37 سياح الجبل، 38 صديرة الجبل ، 39 دجلة والبومة ، 40 الرببيضة الجنوبية)، أما في منطقة تلال حمرين فإن اتجاه الانحدار فيها نحو الغرب يؤدي إلى تعرضها لأشعة الشمس من منتصف النهار إلى الغروب الأمر الذي يؤدي إلى ارتفاع درجات الحرارة فيها مما ينشط فيها عملية التجوية ونشاط التملح ويظهر ذلك واضحاً في المقاطعات (53 الفتحة ، 54 صديرة الطرفاوي، 55 طعان وساحة الملح، 56 نخلية والمعيدي، 57 الدرجية الشمالية).

• **الرياح** : تتصف الرياح التي تهب على العراق بصورة عامة بانخفاض سرعتها على مدار السنة لوقوعه في النطاق شبه المداري الواقع تحت تأثير نطاق الضغط العالمي شتاءً والمنخفض صيفاً (حديد وآخرون، 51)، إن الاتجاه العام للرياح في العراق ومن ضمنه منطقة الدراسة هي الشمالية الغربية وهي حارة جافة في الصيف وباردة شبه جافة في الشتاء ويستثنى من ذلك الرياح الجنوبية الشرقية والتي تهب في مقدمة الإعصار والتي تكون دافئة ورطبة (الخلف، 1961).

وتتسم هذه الرياح بقلة سرعتها إذ تتراوح مابين 2.4-4.1 (م/ث) لوقوع العراق تحت تأثير الضغط الجوي المنخفض في الشتاء، وهذه الظروف لا تساعد على هبوب رياح شديدة السرعة إلا مع المنخفضات الجوية المتوسطية والتي تحدث اضطراباً جوياً وسرعه عالية قد تصل إلى المديات الإعصارية في فصل الربيع (حديد وآخرون، 52).

ومن خلال الجدول (3) نرى أن أعلى سرعة للرياح تبلغ (4.1م/ث) في شهر تموز وأقل سرعة لها (2.4م/ث) في شهر كانون الأول. وإن ارتفاع سرعة الرياح في فصل الصيف مع ارتفاع درجات الحرارة وانخفاض الرطوبة النسبية يؤدي إلى الزيادة في التبخر في الطبقة السطحية للتربة مما يزيد من تملح التربة فضلاً عن نقلها الرمال والأتربة من المناطق المجاورة، إذ تعمل خلال حركتها على تطوير ونقل ذرات التربة الدقيقة ذات القدرة الكبيرة على الحركة والانتقال بفعل الرياح لاسيما إذا زادت سرعة الرياح على 5م/ث (ولي، 1982). ويتعااظم اثر الرياح في منطقة الدراسة بسبب قلة الغطاء النباتي

نتيجة لقلة الأمطار وحراثة الأرض سنوياً في المناطق الديميمية الذي لا يسمح بنمو النبات الطبيعي الذي يحافظ على تماسك التربة ويفحظها من التعرية. كما هو الحال في المقاطعات (53 الفتحة ، 54 صديرة

الطرفاوي ، 55 طعان وسيدة الملح ، 37 سياح الجبل الريبيضة الشرقية، 38 صديرة الجبل ، 40 الريبيضة الجنوبية ، 52 العكوز الجنوبية).

الجدول (3) المعدلات الشهرية لسرعة الرياح (م/ثا) في منطقة الدراسة لمدة (1980-2020)

الأشهر	كانون 2	شباط	آذار	نيسان	أيار	حزيران	تموز	آب	أيلول	تشرين 1	تشرين 2	كانون 1
المعدل	2.5	2.8	3.1	3.3	3.4	3.8	4.1	3.8	3.2	2.8	2.6	2.4

المصدر: وزارة النقل، الهيئة العامة للأنواء الجوية والرصد الزلزالي، قسم المناخ، بغداد، 2020، (بيانات غير منشورة)

• **الأمطار (Rains)** : تسقط الأمطار في العراق في النصف البارد من السنة في فصول الخريف والشتاء والربيع أي ابتداء من شهر تشرين الأول وتنتهي بنهاية شهر أيار أي ثمانية أشهر من السنة ، إلا أن كمية الأمطار الساقطة لا تزيد عن بضع عشرات من المليمترات خاصة الجهات الصحراوية وشبه الصحراوية (الجنابي ص.، 2005).

وتعتبر المناطق التي يكون مجموع الأمطار الساقطة فيها أقل من 250 ملم سنوياً من المناطق شبه الجافة ويعتبر معظم أقسام العراق ضمن هذه المنطقة (العاني، 1980)، إذ أن نظام الأمطار السائدة في العراق هو نظام البحر المتوسط الذي يتميز بسقوط كميات محدودة من الأمطار الشتوية التي تسببها المنخفضات الجوية الآتية من جهة البحر المتوسط والتي تتصف بأنها غير منتظمة في توزيعها على طول موسم الأمطار (الخشاب وآخرون، 1983).

إن قلة الأمطار وتذبذبها من سنة إلى أخرى في المناطق الجافة وشبه الجافة يؤدي إلى قلة الغطاء النباتي الذي يجعل التربة في هذه المناطق فقيرة بالمادة العضوية والنيلتروجين (الشلش، 1985) وبالتالي يجعلها هدف سهل للتملح ، ويتبين من الجدول(4) أن كمية الأمطار الساقطة تتراوح ما بين 0.3-34.4) ملم وان مجموع الأمطار السنوية بلغت 170.7 ملم وتذبذب هذه الكمية بين شهر آخر بلغت أعلى مستوى لها في شهر كانون الثاني (34.4) ملم وأدنىها في أيلول (0.3) ملم وانعدمت في أشهر حزيران وتموز وآب إن قلة الأمطار الساقطة في منطقة الدراسة وتذبذبها أثر بشكل مباشر على التربة وبالتالي تغيير خصائصها ونشاط مظاهر أخرى منها التملح ، إذ تنخفض المادة العضوية فيها بسبب قلة الغطاء النباتي المرتبطة كثافته بصورة مباشرة بكميات الأمطار ، فضلاً عن أن انخفاض

الرطوبة في التربة يعرضها للفكك بسبب طول مدة الجفاف مما يؤدي إلى تعرضها للتعرية الريحية ، وأن تساقط الأمطار على شكل رخات قوية في فصل الربيع يؤدي إلى جرف التربة بسبب تفككها وضعف الغطاء النباتي أو قلته . ويتبين ذلك بشكل واضح في الأجزاء الشمالية الشرقية ضمن المقاطعات (53 الفتحة ، 54 صديرة الطرفاوي ، 55 طعان وسيدة الملح ، 37 سياح الجبل ، 38 صديرة الجبل ، 40 الريضة الجنوبية).

الجدول (4) المجموع الشهري للإمطار (ملم) في منطقة الدراسة لمدة من (1980-2020)

كانون 1	تشرين 2	تشرين 1	أيلول	أب	تموز	حزيران	أيار	نيسان	أذار	شباط	كانون 2	الأشهر
22.9	23.9	11.2	0.3	0	0	0	8	12.9	25.1	31.3	34.4	المجموع الشهري

المصدر : وزارة النقل ، الهيئة العامة للأنواء الجوية والرصد الزلزالي ، قسم المناخ ، بغداد ، 2020 ، بيانات غير منشورة .

• التبخر: يعد التبخر / النتح القياسي هو عبارة عن كمية المياه المفقودة من التربة عن طريق التبخر (Evaporation) ومن النبات بواسطه النتح (Transpiration) ويقاس التبخر بمعرفة حجم الماء الذي يتبخر من الوحدة المساحية خلال مدة زمنية معينة (شحاذه، 2009).

ويتبين من الجدول (5) ارتفاع معدلات التبخر بشكل عام في فصل الصيف ، إذ بلغت أعلى معدلاته في الأشهر حزيران وتموز وأب (493.7 ، 542.5 ، 492.2 ملم) على الترتيب ، وتنخفض معدلاته في فصل الشتاء إذ يتدنى في شهري كانون الأول وكانون الثاني ليصل إلى (55.4 ، 63.5 ملم).

ومن المقارنة بين كميات الأمطار السنوية البالغة (170.7 ملم) ومعدلات التبخر جدول (6) للموازنة المائية يظهر عجزاً مائياً في منطقة الدراسة مما ينعكس سلباً على حالة التربة ، إذ تفقد رطوبتها بسرعة مما يجعلها هشة ومتذكرة فضلاً عن وجود عامل الانحدار وقله الغطاء النباتي الذي يعمل على تماسك التربة وحمايتها كما هو الحال في تلال حمررين وسهول القدامات والسهل التجمعي. إن ارتفاع درجات الحرارة وخاصة في فصل الصيف وقلة الرطوبة النسبية في الهواء وزيادة سرعة الرياح وقلة الغطاء النباتي في منطقة الدراسة كلها عوامل تساعد على التبخر مما يضطر المزارع في الموسم الصيفي إلى زيادة عدد الريات الأمر الذي يؤدي إلى زيادة الفاقد المائي في التبخر وتركم الأملاح على سطح التربة .

الجدول (5) المعدلات الشهرية للتباخر(ملم) في منطقة الدراسة لمدة من (1980-2020).

كانون 1	تشرين 2	تشرين 1	أيلول	آب	تموز	حزيران	أيار	نيسان	أذار	شباط	كانون 2	الأشهر
63.5	114.1	230.7	363.9	493.7	542.5	492.2	369.1	240.3	157.9	83.1	55.4	المعدل

المصدر : وزارة النقل ، الهيئة العامة للألواء الجوية والرصد الزلزالي ، قسم المناخ ، بغداد، 2020، (بيانات غير منشورة).

جدول رقم (6) الموازنة المائية لمحطة تكريت لمدة من (1980 - 2020)

كانون 1	تشرين 2	تشرين 1	أيلول	آب	تموز	حزيران	أيار	نيسان	أذار	شباط	كانون 2	الأشهر
14.5	7.9-	97.86	195.5	295.4	312.7	235.5	155.1	84-	6.2	18.9	28.5	ثوريت

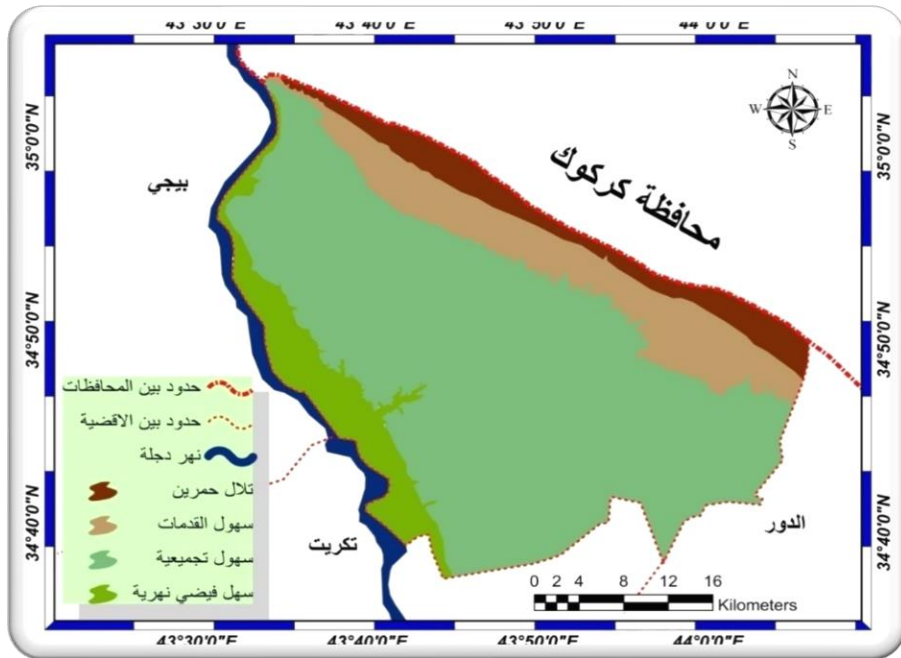
المصدر : وزارة النقل والمواصلات ، الهيئة العامة للألواء الجوية ، قسم المناخ ، بيانات غير منشورة

• التضرس : يقصد بالتضرس الاختلاف في شكل سطح الأرض ودرجة انحداره ومقدار ارتفاع سطح الأرض وانخفاضه عن مستوى سطح البحر . وهو أحد المقومات الطبيعية التي تسهم بصورة فعالة في عمليات الاستيطان البشري والاستثمار الأمثل للأرض و يؤثر في التربة من حيث التركيب والتماسك (الشلش وشريف، 1985).

ويتبين من الخريطة (3) الوحدات التضاريسية السائدة في منطقة الدراسة وسيتم مناقشة هذه الوحدات والانحدارات من حيث شدة الانحدار واتجاهه وشكله واثر ذلك في تكوين التربة .

- تلال حمرین : تتحل سلسلة تلال حمرین الجزء الشمالي والشمالي الشرقي من منطقة الدراسة التي تمثل أعلى ارتفاع في المنطقة ، إذ يبلغ أعلى ارتفاع فيها (527) م في قبة طرفاوي ويكون امتدادها من الشمال الغربي باتجاه الجنوب الشرقي ، وتكون الانحدارات فيها

الخريطة (3) الوحدات التضاريسية الرئيسية لمنطقة الدراسة



المصدر: اعتماداً على نموذج الارتفاعات الرقمية (DEM 14 M).

شديدة باتجاه الغرب وقلة الغطاء النباتي كان سبباً في ضحالة تربة هذه الوحدة التضاريسية مما يسمح بتكون طبقات من الاملاح ، كما هو الحال في الأجزاء الشرقية من المقاطعات (53 الفتحة ، 54 صديرة الطراوبي ، 55 طعان وسيحة الملح ، 56 انجيله والمعيدي ، 57 الدراجية الشمالية).

- سهول القدامات : تتحصّر هذه الوحدة التضاريسية بين سلسلة تلال حمرين شرقاً وخط كنثور 150م والحافة القديمة لنهر دجلة غرباً وخط كنثور (100) م ، وتشمل على منطقة السهل التجمعي والمصاطب النهرية القديمة وإرسبات المنحدرات والقدامات وتشكل الجزء الأكبر من منطقة الدراسة كما هو الحال في المقاطعات (37 سياح الجبل ، 38 صديرة الجبل ، 39 دجلة والبومة ، 40 الريبيضة الجنوبية ، 41 الخازمية الشرقية ، 42 العكلة والذكورة ، 54 صديرة الطراوبي). ويقطع الجزء الشرقي من هذه المنطقة عدد من الأودية الضيقة والتي يصل عمقها إلى أكثر من 10م باتجاهات مختلفة تكون في الغالب باتجاه الجنوب الغربي باستثناء الجزء الشمالي الغربي والذي يسير فيه وادي قبر العبد باتجاه الشمال الغربي ، ويتخلّل هذه المنطقة عدد من الوديان الضحلة المملأة بالرواسب التي نقلتها مياه الأمطار من المرتفعات المجاورة.

- السهل الفيضي الحديث : يقع هذا الجزء بين نهر دجلة غرباً والسهل التجمعي شرقاً ويكون ارتفاعه محصراً بين (75-100) م فوق مستوى سطح البحر والذي تكون على مر السنين بفعل تغيير النهر لمجراه وتوسيع واديه عن طريق النحت الجانبي في مرحلة النضج (مبارك ، 2010). إذ تتم عمليات الهدم من المناطق المقعرة والإرسب في المناطق المحدبة مما أدى إلى ظهور صفات

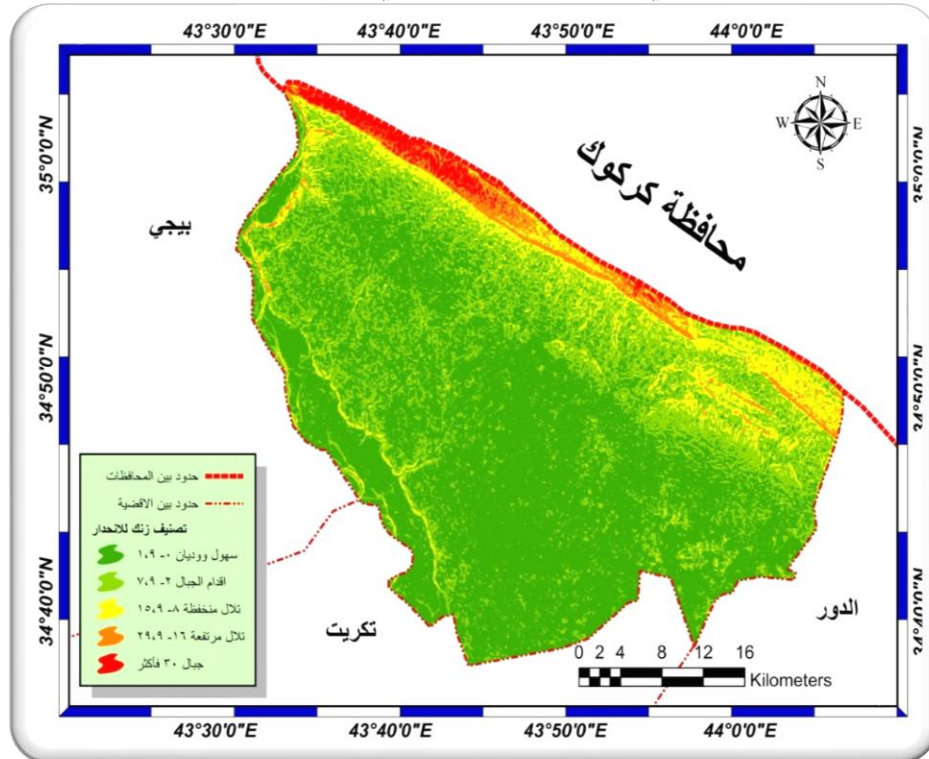
ارسالية تتميز بإرساب الطين والغرين على عرض الوادي خاصة في وقت الفيضان كما هو الحال في المقاطعات (27 الخرجة والعالي، 28 سمرة والعيادي ، 29 الخزامية ، 30 الريبيضة ، 31 البزيخة ، 33 اللقلق). ويختلف عرض هذا السهل في منطقة الدراسة، إذ يبلغ في بعض المناطق أقل من 500 م في حين يصل وسط منطقة الدراسة إلى 5 كم.

- **السهل التجمعي:** يقع هذا الجزء بين السهل الفيضي القديم لنهر دجلة غربا وسهول القدرات شرقا ويشكل الجزء الاعظم من منطقه الدراسة، ويتميز بالاستواء، اذ تخلله بعض المنخفضات المملوءة بالرواسب التي نقلتها المياه والرياح من المرتفعات والمناطق المجاورة فضلاً عن عدد من المجاري النهرية الوقتية الجريان والتي تجتمع فيها المياه من سهول القدرات وتلال حمراء باتجاه نهر دجلة والتي يكون اتجاهها جنوب غربي مع اتجاه انحدار منطقه الدراسة.

• **الانحدار:** يعد الانحدار ذا أهمية كبيرة في الدراسات الجغرافية إذ يؤثر انحدار

السطح بشكل كبير في تكوين التربة وهناك علاقة عكسية بين الانحدار وسمك التربة (الدليمي، 2009). ويكون الانحدار على ثلاثة أشكال : الانحدار المحدب، والانحدار الممحدب، والانحدار المستقيم وتحتلت عملية النحت والإرساب في هذه الأشكال الثلاثة ،إذ يكون الانحدار المحدب المكان الذي تجري فيه عملية التعرية، أما الانحدار الممحدب فيكون مكانا للإرساب، وتبيّن الخريطة (4) التوزيع المكاني للانحدار، ويؤثر انحدار السطح على انجراف التربة مما يؤدي إلى خسارة أجزاء التربة السطحية وزيادة اثر الانجراف بفعل المياه الجارية التي تعمل على جرف الأجزاء العليا من التربة ونقلها وترسيبها في أماكن أخرى وترك الطبقة التحتية فقيرة من المواد المعدنية والعضوية على سفح المنحدر كما هو الحال في المقاطعات الزراعية المحاذية لسلسلة تلال حمراء ضمن المقاطعات (37 سياح الجبل ، 38 صديرة الجبل ، 39 دجلة والبومة ، 42 العكلة والذكورة) (صديق وزريفات، 2006).

الخريطة (4) التوزيع المكاني للانحدار بالدرجات في منطقة الدراسة حسب تصنيف زنك



المصدر : اعتماداً على نموذج الارتفاعات الرقمية (DEM 14 M).

- **النبات الطبيعي** : للنبات الطبيعي أهمية كبيرة في عملية تكون التربة وتطورها فالغطاء النباتي يحفظ التربة عند تساقط قطرات المطر ويعيق سرعة المياه الجارية على السطح من الأمطار مما يساعد على نفاذ كميات كبيرة منه إلى داخل التربة (العاني ع.، 51).

ويقوم النبات الطبيعي بتنقلي سرعة الرياح وتقليل أثرها في عمليات التعرية في المناطق ذات الغطاء النباتي الكثيف ويوفر للتربة المادة العضوية التي تصنع منها مكوناتها العضوية (الجنابي ع.، 2001)، وفي منطقة الدراسة يكون دور النبات الطبيعي قليلاً وذلك لقلة الغطاء النباتي فيها لوقوعها في المناطق شبه الجافة وقلة الأمطار وتذبذبها، فنلاحظ في المناطق الديميمية وجود بعض النباتات الحولية التي تنمو لمدة قصيرة (مدة سقوط الأمطار) وبعض النباتات المعمرة في مجاري الأودية والمناطق المنخفضة مثل السدر.، وكما هو الحال في المقاطعات (53 الفتحة ، 54 صديرة الطرفاوي ، 37 سياح الجبل ، 38 صديرة الجبل ، 39 دجلة والبومة ، 41 الخازمية الشرقية ، 42 العكلة والذكورة ، 36 العكوز واللقلق) ، أما في السهل الفيضي فيوجد عدد من النباتات الطبيعية الدائمة بسبب توفر مصدر المياه مثل الغرب والطرفه والقصب والبلاب والرطبة في أكتاف الأنهر بالقرب من المجرى الرئيس للنهر كما هو الحال في مقاطعات السهل الفيضي (27 الخرجة والعلالي ، 28 سمرة والعيادي ، 29 الخازمية ، 30 الريضية ، 31 البزيحة ، 33 اللقلق)، ونباتات حولية مثل الثيل والحلفة والطرطيع والشوك والعاقول ، ومن النباتات الحولية في المناطق المطيرية الشيج والقيصوم والشفلح والزياد والشعير البري الشويرية والكعوب والخباز والكلغان .

الإيه تصميم نموذج (NDSI)

تم دراسة المنطقة باستخدام معامل ملوحة التربة في الأراضي التي تحتوي على نسبة معينة من المحاصيل الزراعية والأراضي الجرداء ، وباستخدام مجموعة من القرائن النباتية (-BT -OSAVI -NDVI) وتم تصميم موديل رياضي هو :-

$$EC=630.93-34.68*BT-30.58*NDVI-10.44*OSAVI$$

ارتكزت هذه الدراسة على توظيف تقنيات نظم المعلومات الجغرافية في تقدير الجفاف وفي تصميم وتجميع نموذج (Soil_Salinity) للتلمح فتمثل في إعداد طبقات كل من :-

مؤشر الاختلاف الخضري الطبيعي (NDVI) (NDVI)

Vegetation Index

مؤشر النبات المعدل للتربة (OSAVI)

ومن ثم في تطبيق معادلة (Soil_Salinity) في عدة مراحل وذلك من كما سيرد تفصيله لاحقاً في برنامج ArcGIS وادوات Spatial Analyst الخاصة بالتحليل المكاني وذلك من تطبيقه على المعادلات الخاصة بكل مؤشر .

$$BT= [K2/(K1/ L\gamma)+1]-273.15 \quad (BT) \quad \text{اذ تمثل :-}$$

• الحرارية البعيدة وعلى ادنى واعلى قيمة لنطاق الاشعة الحرارية وهنا تم تحويل قيمة القناة العاشرة من قيمة انعكاسية (Spectral reflection values) الى قيمة حرارية (Temperature values) والتي تمثل (BT) وتم استخراج قيمها وفق التالي :-

الذهاب الى الابعاد (MapaAlgebra) ثم ادخال المعادلة ($L\gamma=(M_LQ^c_a+A_L)$)

$L\gamma$ = قيم الاشعاع الطيفي للبند العاشر ($Wm-2sr-1m-1$)

عامل إعادة ضبط المضاعف المحدد لنطاق من البيانات الوصفية (M_L)

(ينتج من طرح قيم الاشعاع الطيفي البند العاشر المدمج (القريب) ناقصاً البند العاشر المضاف (البعيد))

($RADIANCE_MULT_BAND_10 = 3.3420E-04$) - ($RADIANCE_ADD_BAND_10 = 0.10000$)

Q^c_a = البند الحراري العاشر

A_L = معامل تصحيح (ثابت) خاصة بالبند العاشر المضاف ($RADIANCE_ADD_BAND_10 = 0.10000$)

استخدام قيم الاشعاع الطيفي المستخرج ($L\gamma$) في استخراج درجات حرارة السطح مقاسة

بالسلزيلي وذلك وفق المعادلة التالية خارطة (9-ج-9-9-9)

$$BT = [K2/(K1/L) + 1] - 273.15$$

درجة الحرارة $BT =$

معامل خاصة بالبند العاشر (معامل تصحيح) $K2 =$

معامل خاصة بالبند العاشر (معامل تصحيح) $K1 =$

- مؤشر الاختلاف الخضري الطبيعي (NDVI) :-
Index (يعد هذا المؤشر الأكثر شيوعاً لقياس حالة التدهور الحاصل بالغطاء النباتي ويستخدم Near (القناة) الرابعة الحمراء (RED) والقناة الخامسة تحت الحمراء القريبة (band) (infrered وكانت المعادلة وفق التالي خارطة (6أ-6ب) و (7أ-7ب) :-
 $NDVI = (Near infrared - Red) / (Near infrared + Red)$

- مؤشر النبات المعدل للترابة (SAVI) :- تم تصميم هذا المؤشر بسبب صعوبة الفصل بين انعكاس التربة وانعكاس المحاصيل ضمن الخلية الواحدة ، مما يؤدي إلى خطأ في تقدير مقدار التغطية النباتية ، وتزداد هذه المشكلة خاصة في مناطق المحاصيل قليلة الخضرة والمعبورة ، لذلك طور (رونبوكس وزملانه عام 1996) هذا المؤشر وقاموا بوضع قيمة ثابتة (L) وهي 0.16 (rondeaux, optimization of soil-adjusted vegetation indices, 1996) ويتميز باهتمامه بتقليل دور سطح التربة في المناطق ذات التغطية القليلة للنباتات وهو ما يتناسب مع بيئية منطقة الدراسة ويحسب بحسب المعادلة التالية خارطة (13 أ- 13 ب- 13 ج - 13 د) :-

$$OSAVI = (NIR - RED / NIR + RED) * 1 + L$$

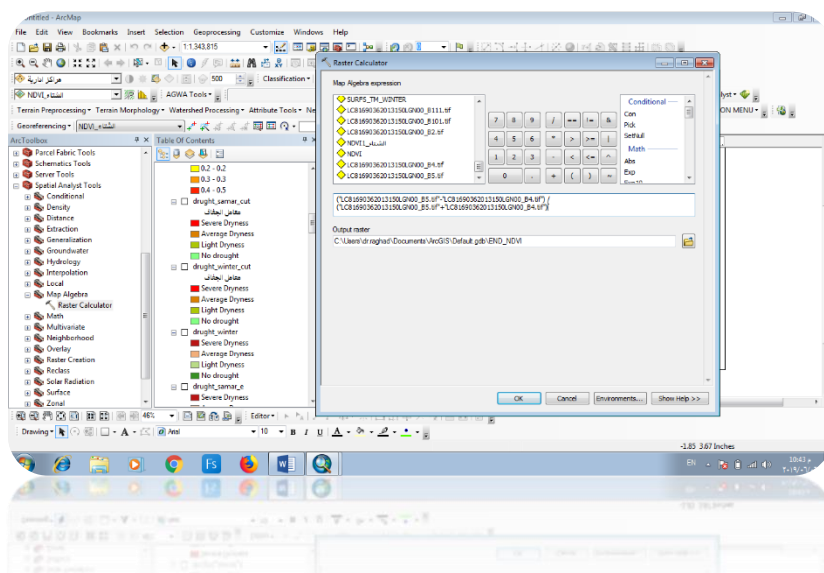
الأشعة تحت الحمراء القريبة (القناة الخامسة) $NIR =$

الأشعة الحمراء (القناة الرابعة) $RED =$

قيمة ثابتة (0.16) $L =$

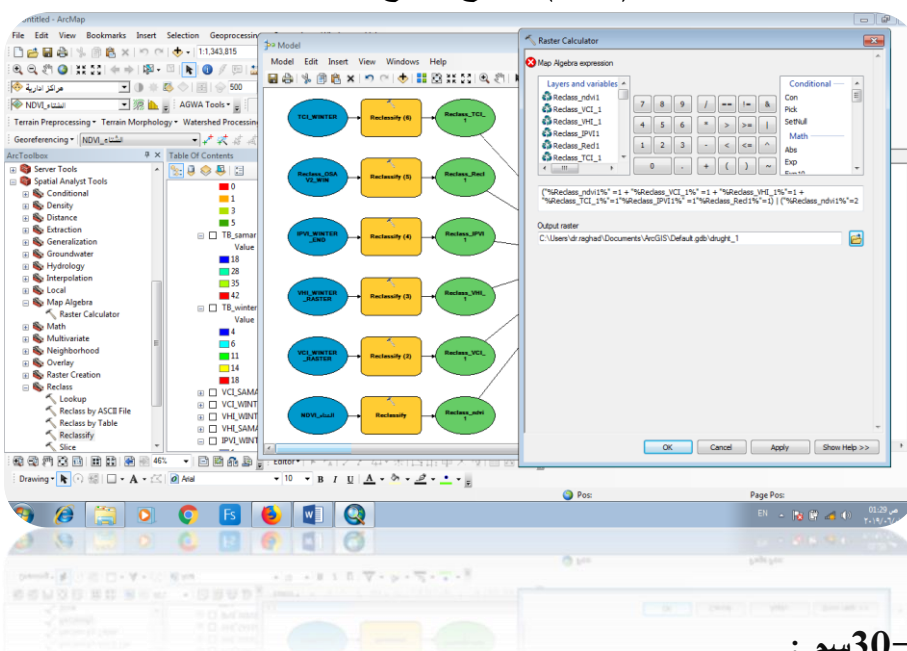
- وبعدها تم تصميم الموديل وتحليل النتائج :- تم تصميم الموديل على عدة مراحل وهي:-
- مرحلة تطبيق وتحويل جميع المعادلات الخاصة بالمؤشرات وادخالها الى (Map Algebra) ثم الاليعاز (RasterCalculator) ثم ادخال كل المؤشرات وتكوين سلسلة من الطبقات شكل (3)

شكل (3) RasterCalculator



لقد تم تجميع كل مخرجات المؤشرات لكل الطبقات وذلك لزيادة الدقة وعدم الاعتماد على مؤشر او اثنين ، وما تلا ذلك هو تجميع الطبقات واعداد خوارزمية تجمع الطبقات (الحادية والمتوسطة والخفيفة وعديمة التملح) لكل الطبقات من خلال إعادة تصنيفها (Reclassify) واعطائها وزن جديد (واحد) للحاد (اثنان) للمتوسط و (ثلاثة) للخفيف و لا يوجد تملح وبالمحصلة تصميم نموذج متكامل شكل (4) يمثل نموذج تحديد مناطق الجفاف (Soil_Salinity) خارطة (5) والتبوء بها .

شكل (4) نموذج التملح



المستوى الأول : 0-30 سم :

بلغ أعلى مستوى لنسبة الأملاح الذائبة في العينة (20) مقاطعة (56 انخلية والمعيدي) إذ بلغت نسبته 35.71 غم/كغم وأقل معدل في العينة (13) مقاطعة (29 الخرامية) 1.01 غم/كغم، ومن ملاحظة الخريطة (5) للمستوى الأول تبين أن أعلى نسبة للأملاح تتركز في الجزء الشمالي الشرقي في

منطقة تلال حمرин في المقاطعات (57 الدراجية الشمالية، 56 انخلية والمعيدي) وأقل نسبة في الجزء الجنوبي الغربي في المقاطعات (40 سياح الجبل الريبيضة الجنوبية، 29 الخازمية ، 30 الريبيضة) وأجزاء من المقاطعات (52 العكوز الجنوبية ، 31 البزيخة).

المستوى الثاني : 31-60 سم :

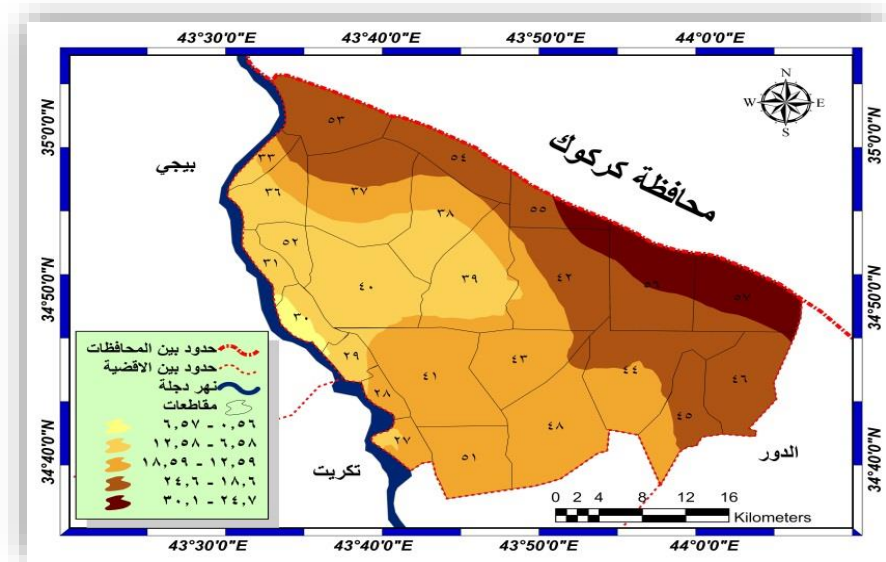
بلغ أعلى معدل لنسبة الأملاح الذائبة في العينة (7) مقاطعة (53 الفتحة) إذ بلغ 52.81 غم/كغم، في وادي قبر العبد مجاور سلسلة تلال حمرин وأقل معدل في العينة(14) مقاطعة (28 سمرة والعيادي) إذ بلغ 2.45 غم/كغم، في السهل الفيضي الحديث، ومن ملاحظة الخريطة (5) للمستوى الثاني يتبين أن أعلى نسبة للملوحة في الجزء الشمالي الغربي من منطقة الدراسة في المقاطعات (55 طعان وسحة الملح ، 54 صديرة الطرفاوي ، 53 الفتحة) وأجزاء من المقاطعات (39 دجلة والبومة ، 38 صديرة الجبل الريبيضة ، 37 سياح الجبل الريبيضة الشرقية) .

المستوى الثالث : 61-100 سم :

بلغ أعلى معدل لنسبة الأملاح في العينة (7) مقاطعة (53 الفتحة) إذ بلغ 62.15 غم/كغم، أما أقل معدل فكان في العينة (16) مقاطعة (28 سمرة والعيادي) إذ بلغ 3.3 غم/كغم، في منطقة السهل الفيضي ، ومن ملاحظة الخريطة (5) المستوى الثالث يتبين أن أعلى مستوى لها يأخذ شكل نطاق يمتد من الجنوب الشرقي باتجاه الشمال الغربي شاملًا تلال حمرين وأقل نسبة لها في أجزاء من مقاطعتي (28 سمرة والعيادي ، 44 المعيدي الشمالية) .

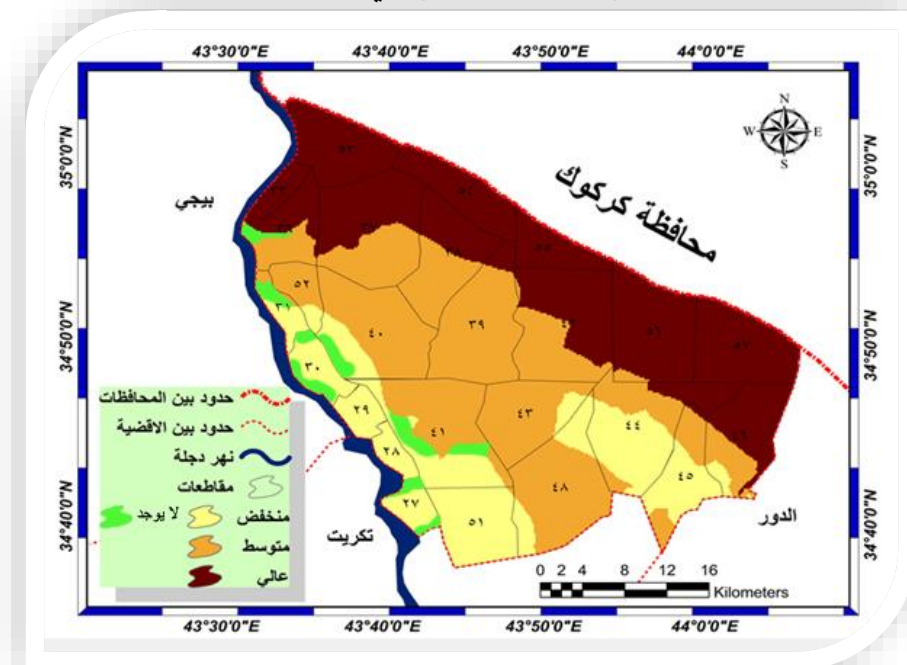
ومن ملاحظة خريطة (6) للمستويات الثلاثة يتضح تركز الملوحة على طول الخط الشرقي والشمالي الغربي في مقاطعات تلال حمرين وسهول القدرات في المقاطعات (57 الدراجية الشمالية ، 56 انخلية والمعيدي ، 55 طعان وسحة الملح ، 54 صديرة الطرفاوي ، 53 الفتحة، 33 اللقلق) وأجزاء من مقاطعات (46 الدراجية ، 44 المعيدي الشمالية، 42 العكلة والذكورة ، 39 دجلة والبومة ، 38 صديرة الجبل الريبيضة ، 37 سياح الجبل الريبيضة الشرقية) ويعود سبب ذلك إلى تجمع المياه في المناطق المنخفضة ضمن تلك المقاطعات ، فضلاً عن تأثير عامل المناخ من ارتفاع درجات الحرارة وزيادة نسبة التبخر فيها، وانخفاضها في الجزء الجنوبي الشرقي من منطقة الدراسة في أجزاء من المقاطعات (46 الدراجية ، 45 المبدد ، 44 المعيدي الشمالية ، 48 المعيدي وتلول الصفر، 43 عيشه الترذكم وحليل) والأجزاء الغربية من منطقة الدراسة في المقاطعات (51) (المجرة وتل الرجم، 41 الخازمية الشرقية وحليل 40، سياح الجبل والريبيضة الجنوبية) ومقاطعات السهل الفيضي (27 الخرجة والعلالي، 28 سمرة والعيادي ، 29 الخازمية، 30 الريبيضة) وأجزاء من مقاطعتي (31 البزيخة، 52 العكوز الجنوبية) ويعود سبب ذلك إلى ارتفاع أراضي هذه المقاطعات واقتصر الزراعة فيها على زراعة الحبوب (الحنطة والشعير) ولموسم واحد فقط .

خريطة (5) توزيع نسبة الأملاح لمنطقة الدراسة



المصدر : - من عمل الباحثة بالاعتماد على مخرجات البيانات الفضائية

خريطة (6) توضح مستويات التملح في المنطقة



المصدر : - من عمل الباحثة بالاعتماد على مخرجات البيانات الفضائية

ومن ملاحظة البيانات السابقة لوحظ ان حوالي 46.95 بالمئة من منطقة البحث تعاني من التملح أي ما يقارب النصف والنسب توزعت على التوالي (5.27-17.32-30.54) لاحظ الجدول (7) .

جدول (7) توزيع نسبة التملح في منطقة الدراسة

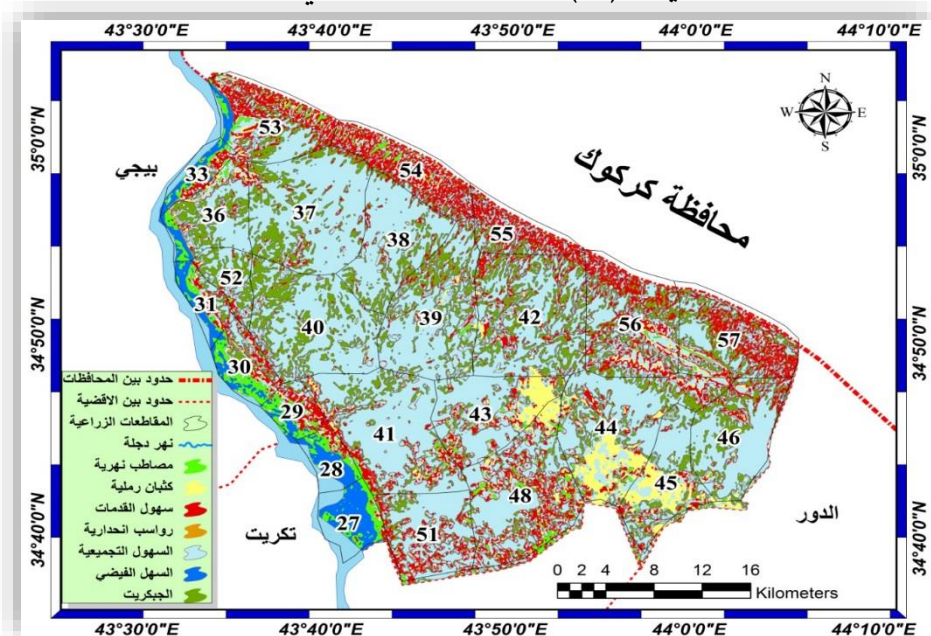
مستوى التملح	المساحة	النسبة المئوية
المستوى الأول	677.07	46.95
المستوى الثاني	440.41	30.54
المستوى الثالث	248.5	17.23
المستوى الرابع	76	5.27

المصدر :- من عمل الباحثة بالاعتماد على الشكل (4)

ومما سبق عند مطابقة مخرجات التملح على المرئيات الفضائية أصبح بالإمكان تقييم المنطقة وفق مفهوم قابلية الأرض أو ملاءمتها ، ومدى المردود المتحقق لاي استعمال (البنا، (2000).

اذ اعدت خريطة الملائمة البيئية باستعمال تقنيات نظم المعلومات الجغرافية (GIS) واعتماداً على خريطة ملوحة التربة والارتفاعات الرقمية (DEM) والمرئية الفضائية بعد إجراء عملية التصنيف للمرئية واستبانت أصناف الغطاء الأرضي خارطة (7) وتحويل الملفات إلى صيغة Vector ثم استعمال أدوات التحليل المكاني Spatial Analyses Tools باستعمال (التطابق) Intersect بين الخرائط المذكورة أعلاه ، إذ استخرجت خريطة الملائمة البيئية، ثم إيعاز (Dissolve) لخصائص البيانات الوصفية، ثم صنفت درجات الملائمة إلى خمس أصناف ،وكما في الجدول (8).

خرطة (7) تمثل الغطاء الأرضي



المصدر : - من عمل الباحثة بالاعتماد على مخرجات البيانات الفضائية

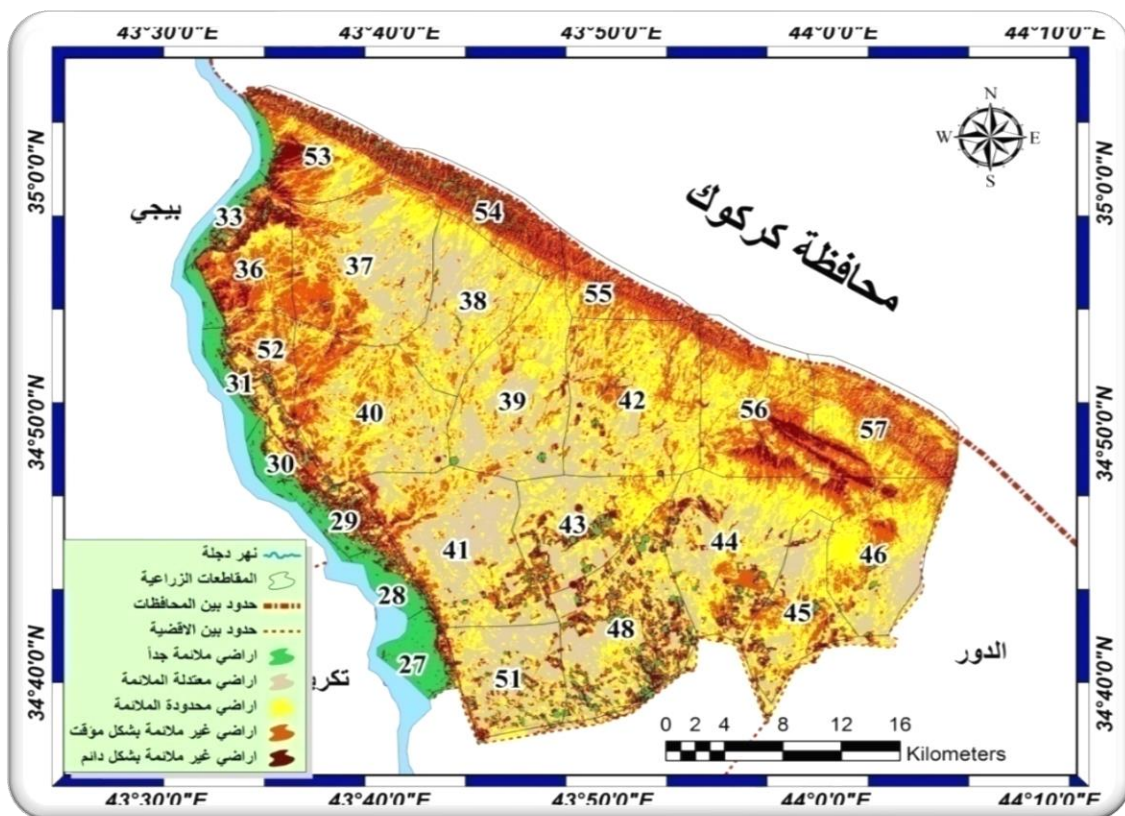
الجدول (8) مساحة أصناف الملائمة البيئية لمنطقة الدراسة

النسبة %	المساحة/دونم	الصنف	ت
6.74	38800	أراضٍ ملائمة جداً	1
25.72	148400	أراضٍ معتدلة الملائمة	2
32.01	170400	أراضٍ محدودة الملائمة	3
25.73	148400	أراضٍ غير ملائمة بشكل مؤقت	4
9.81	56400	أراضٍ غير ملائمة بشكل دائم	5
100	576800	المجموع	

المصدر : بالاعتماد على خريطة (7-8) والمرئية الفضائية للقمر الصناعي 7 . Land sat

وبالمحصلة النهائية أصبحت لدينا خريطة تمثل القابلية الأرضية لمدى صلاحية الأرض بالاعتماد على نسبة التملح وفق مؤشر (NDSI) خريطة (8)

خريطة (8) توضح مستويات القابلية الأرضية وفق مؤشر (NDSI)



المصدر :- من عمل الباحثة بالاعتماد على مخرجات البيانات الفضائية

• **أراضٍ ملائمة جداً** : تمتاز هذه الفئة بالملائمة العالية ، إذ تتعدد استعمالات الأرض الزراعية والرعوية وتشمل أراضي المقاطعات (27 الخرج والعالي ، 28 سمرة والعيادي ، 29 الخازمية ، 30 الرببيضة ، 31 البزيخة و33 اللقلق). ضمن السهل الفيسي لنهر دجلة وتشغل مساحة (38800) دونم وتشكل نسبة (6.74 %) من مساحة منطقة الدراسة. وتعد ملائمة لجميع الاستعمالات الزراعية وتتصف التربة فيها بجودة خصائصها الفيزيائية والكيميائية واستواء السطح فيها وتوفر المياه السطحية القليلة الملوحة (مياه نهر دجلة والمشاريع الاروائية).

• **أراضٍ معتدلة الملائمة** : تعد ظروف الملائمة البيئية في هذه الفئة اقل من الفئة المثالبة، وقد بلغت مساحتها (148400) دونم وتشكل نسبة (25.72 %) من مساحة منطقة الدراسة ، وتنتشر في اجزاء من مقاطعات (38 صدير الجبل الرببيضة، 39 دجلة والبومة، 43 عيادة التركام وحليحل، 42 العكلة والذكورة ، 41 الخازمية الشرقية وحليحل، 51 المجرة وتل الرجم، 48 المعبيدي وتلول الصفر). وتمثل المخاطر البيئية لاستعمالات الأرض بانتشار الجبس في التربة واقتصر الموارد المائية على المياه

الجوفية العالية الملوحة ،فضلاً عن تأثير عناصر المناخ على التربة واستعمالات الأرض السائدة ضمن هذه الفئة هو زراعة الحبوب والخضروات والمحاصيل العلفية كما تمثل مراعي جيدة بسبب انتشار النبات الطبيعي فيها.

- **اراضٍ محدودة الملائمة** تعد أراضي هذه الفئة ضعيفة الملائمة وتشغل مساحة (170400) دونم وتمثل نسبة (32.01%) من مساحة منطقة الدراسة ، وتمثل في سهول القدرات والمحاذية لسلسلة تلال حمراء وفي مناطق صغيرة في جميع مقاطعات السهل التجمعي ، بسبب وجود عوائق طبيعية تتمثل بضحلة سكك التربة والانحدار وارتفاع نسبه الجبس في مقدارها وابعد المياه الجوفية عن السطح وارتفاع نسبه الملوحة فيها ويتزايد تأثير المناخ على أراضي هذه الفئة ، إذ تنشط التعرية الريحية بسبب قلة النبات الطبيعي والرعى الجائر ، إن استعمال الأرض السائد في هذه الفئة يقتصر على زراعة بعض محاصيل الحبوب (زراعة ديمية) والرعى .
- **أراضٍ غير ملائمة بشكل مؤقت** تبلغ مساحة أراضي هذه الفئة (148400) دونم وتشكل نسبة (25.73%) من مساحة المنطقة المدروسة ، وتمثل في بعض مناطق سهول القدرات على امتداد سلسلة حمراء ، فضلاً عن المصاطب التهوية، تخل هذه الأرضي الأودية التي تحدُّر باتجاه السهل الفيضي وتمثل العوائق الطبيعية فيها بتزايد تأثير التعرية المائية والهواية للتربة وتنصُّف بارتفاع نسبه الحصى والجبس وتبالين السكك بين سفوح المنحدرات والأرضي المستوية ، وأن المياه الجوفية فيها عالية الملوحة مما يجعلها غير صالحة للزراعة في ظروفها الحالية من دون استعمال التقنيات الحديثة في الزراعة ، ويعُد الرعي النشاط السائد في اراضي المنطقة.
- **أراضٍ غير ملائمة بشكل دائم** تشغل مساحة (56400) دونم بنسبة (9.81%) من مساحة المنطقة المدروسة ، وتمثل أراضي المنحدرات التي تخللها أودية أخدودية في شرق منطقة الدراسة في سلسلة تلال حمراء، وتزداد معوقات الاستعمال الزراعي في أراضي هذه الفئة ، إذ يرتفع تركيز الأملاح في عمق التربة ، فضلاً عن فقرها الشديد في المادة العضوية وجفافها وانخفاض خصوبتها وتزايد التعرية المائية والريحية ، بسبب التأثير الشديد لعناصر المناخ وانحدار السطح ، ويعُد مصدر المياه الرئيس هو المياه الجوفية العالية الملوحة ويعُد الرعي هو النشاط السائد فيها.

الاستنتاجات :-

من خلال ما تقدم يمكن ان نستنتج ما يلي:

1. ان ارتفاع معدلات ملوحة التربة في قضاء العلم يشكل خطاً حقيقياً وتهديداً مباشر على مستقبل الانتاج النباتي فيه.
2. هناك عدة مؤشرات تدل وبشكل واضح على تدهور كبير في القدرة الانتاجية للأراضي الزراعية في القضاء
3. هناك جملة من المعالجات التي يمكن اعتمادها من قبل الجهات الرسمية ذات العلاقة وال فلاحين والمزارعين في قضاء العلم للتقليل من مخاطر ملوحة التربة فيه.

الوصيات:

توصي الباحثة بجملة من التوصيات التي يمكن من خلالها التقليل من اثار تملح التربة في قضاء العلم وهي

- 1- ضرورة تسليط الأضواء الإعلامية والأكاديمية لتوضيح مشكلة تملح تربة القضاء وبشكل سريع ومستمر
2. زيادة الاهتمام من قبل الجهات الرسمية والوقوف وقفه جادة لإيجاد الحلول العلمية السليمة لمعالجة هذه المشكلة
- 3- زيادة وعي الفلاحين والمزارعين في القضاء من جميع الجوانب لتحسين أساليب الحراةة والري وأنواع المحاصيل المزروعة .
- 4- ضرورة الاعتماد على معطيات الأقمار الصناعية من خلال تحديث بيانات التملح بشكل مستمر
- 5- توفير كوادر متخصصة في المراكز البلدية ودوائر الزراعة متخصصة في معالجة معطيات الأقمار الصناعية من بيانات طيفية وطريقة تحليتها
- 6- انشاء قنوات الري والبزل والعمل على صيانتها بشكل دوري
- 7- زراعة المحاصيل القادرة على تحمل نسب الاملاح والحرارة العالية
- 8- استخدام المخصبات العضوية

المراجع :-

- 1- rondeaux, g. (1996). In *optimization of soil-adjusted vegetation indices* (p. 97). uk: university of nottingham.
- 2- rondeaux, g. (1996). In *optimization of soil-adjusted vegetation indices* (p. 97). uk: university of nottingham.
- 3- ابراهيم و علي شريف و حسين الشلش و شريف. (1985). تأليف جغرافية التربة (صفحة 85). بغداد: مطبعة الجامعة.
- 4- احمد ابراهيم محمد. (2009). تأليف *الخواص الجيوتكتونية لصخور الحجر الجيري من تكوين الفتحة وصلاحيتها كاحجار بناء وتحكيم لالسكك في منطقة الفتحة* (صفحة 9). تكريت: كلية العلوم.
- 5- احمد سعيد حديد و اخرون. مصدر سابق، 52.
- 6- احمد سعيد حديد و اخرون. 51.
- 7- احمد سعيد حديد و اخرون. (1982). تأليف *المناخ المحلي* (صفحة 163). الموصل: دار الكتب للطباعة والنشر.
- 8- اسماعيل داود العامری. (2005). تأليف *التبان المناخي لخصائص التربة في ناحيتي بهز وبني سعد وعلاقتها المكانية بالمناخ والموارد المائية* (صفحة 63). بغداد: كلية التربية، ابن رشد.
- 9- ايها ب محمد امين. (2012). تأليف *هيدرولوجية حوض غرب وادي زغيتون شمال شرق تكريت* (صفحة 9). تكريت: كلية العلوم.
- 10- بشير خلف احمد المفرجي. (2013). تأليف *اثر الرياح على زحف الكثبان الرملية في محافظة صلاح الدين* (صفحة 17). تكريت: كلية التربية.
- 11- بشير خلف احمد المفرجي. (2013). تأليف *اثر الرياح على زحف الكثبان الرملية في محافظة صلاح الدين* (صفحة 17). تكريت: كلية التربية.
- 12- جاسم محمد الخلف. (1961). تأليف *جغرافية العراق الطبيعية والاقتصادية والبشرية* (صفحة 108). القاهرة: ط.
- 13- جمال محمد بطاح الجنابي. (2010). تأليف دراسة استقرارية المنحدرات الصخرية وبعض الخواص الجيوتكتونية للتكتونيات المنكشفة في طية حمررين شمال شرق تكريت (صفحة 7). تكريت: كلية العلوم.
- 14- حسن ابو سمور. (2005). تأليف *الجغرافية الحيوية والتربة* (المجلد 1، صفحة 234). عمان، الاردن: دار المسيرة .
- 15- خلف حسين الدليمي. (2009). تأليف *التضاريس الارضية دراسة جيومورفولوجية* (صفحة 162). الاردن، عمان: دار صفا للنشر والتوزيع.
- 16- سامي خضير سلمان السامرائي. (2010). تأليف *التحليل المكانى للتربة واثرها على استعمالات الارض الزراعية في ناحية نجلة* (صفحة 12). تكريت: كلية التربية.
- 17- سحاب خليفة السامرائي. (عدد 5 مجلد 7, 2010). ملحة التربة ومسايباتها في مشروع الرصاصي. مجلة جامعة تكريت للعلوم الإنسانية، صفحة 538.
- 18- سعد عجيل مبارك. (2010). تأليف *اسسیات علم الاشكال الارضية* (صفحة 169). الاردن ، عمان: مطبعة كنوز المعرفة.
- 19- صبار عبدالله صالح القيسى. (1992). تأليف *الظروف الاهيدرولوجية لحوض عجل الشانوي شمال العراق* (صفحة 90). بغداد: كلية العلوم،جامعة بغداد.
- 20- صلاح حميد الجنابي. (2005). تأليف *جغرافية العراق الاقليمية* (صفحة 98). الموصل: جامعة الموصل.
- 21- عايد حسين ورد. (2012). تأليف *التحليل التركيبى ومدلولاته التكتونية لقبة الفضول فى طية حمررين الشمالي* (صفحة 8). تكريت: كلية العلوم،جامعة تكريت.
- 22- عايد حسين ورد. (2012). تأليف ص11.

- 23- عبدالفتاح العاني. (1980). *تألیف/اسسیات علم التربة* (صفحة 51). الموصى: دار الكتب ،الموصى.
- 24- عبدالفتاح و دلال صديق و علي صديق وزريفات. (2006). *تألیف الجغرافية الطبيعية المعاصرة ط 1* (صفحة 262). الرياض: دار الناشر العربي.
- 25- عبدالكريم رشيد عبداللطيف الجنابي. (2001). *تألیف التباين المكاني لاستعمالات الارض الزراعية في اقضية بلد الدور وطوز خرماتو* (صفحة 53). بغداد: كلية الاداب.
- 26- عبدالله نجم العاني. (51).
- 27- علي حسين الشلش. (1985). *تألیف جغرافية التربية* (صفحة 103). البصرة: مطبعة البصرة ط 2.
- 28- علي علي البناء. (2000). *تألیف المشكلات البيئية وصيانة الموارد الطبيعية ط 1* (صفحة 156). القاهرة: دار الفكر العربي،جامعة عين شمس.
- 29- علي،محمود عبدالعزيز،حمادة العزاوي،الجبوري. (مجلد 2 عدد 2, 2006). *الجفاف المناخي وتأثيراته البيئية. سر من راي،* صفحة 86.
- 30- كميلة كريم ياسين. (2002). *تألیف الجيومورفولوجيا التطبيقية للمنطقة المحصورة بين الفتحة والدور شرق دجلة* (صفحة 20). بغداد: جامعة بغداد،كلية التربية ،ابن رشد.
- 31- ماجد السيد ولی. (مجلد 13, 1982). *العواصف التربوية في العراق واحوالها. مجلة الجمعية الخفرافية العراقية* ،صفحة 69.
- 32- محمد خضير عباس. (1989). *تألیف نشوء و مورفولوجيا التربية* (صفحة 103). الموصى: جامعة الموصى ،كلية الزراعة.
- 33- ميادة احمد عبدالله الجبوري. (2013). *تألیف دور الكثبان الرملية في تغذية المياه الجوفية في منطقة الناعمة / جنوب شرق تكريت* (صفحة 8). تكريت: كلية الطعم.
- 34- نعمان شحاذة. (2009). *تألیف علم المناخ* (صفحة 281). الادرن ،عمان: دار صفا للنشر والتوزيع.
- 35- وفيق حسين الخشاب وآخرون. (1983). *تألیف الموارد المائية في العراق* (صفحة 21). بغداد: مطبعة بغداد.

References in English:-

- 1- brahim, Ali Sharif, Hussein Al-Shalash, and Sharif. (1985). *Composition of soil geography* (page 85). Baghdad: University Press.
- 2- Hamad Ibrahim Muhammad. (2009). *Composition of the geotectonic properties of limestone rocks from the Fatha formation and their suitability as building and construction stones for railways in the Fatha area* (page 9). Tikrit: College of Science.
- 3- Hamad Saeed Hadid and others. (1982). *Microclimate synthesis* (page 163). Mosul: Dar Al-Kutub for Printing and Publishing.
- 4- Ismail Daoud Al-Amiri. (2005). *Compilation of climatic variation in soil characteristics in Buhriz and Bani Saad districts and their spatial relationship to climate and water resources* (page 63). Baghdad: College of Education, Ibn Rushd.
- 5- Ihab Muhammad Amin. (2012). *Composition on the hydrology of the western Wadi Zaghitoun basin, northeast of Tikrit* (page 9). Tikrit: College of Science.
- 6- Bashir Khalaf Ahmed Al-Mufarji. (2013). *Author: The effect of winds on the encroachment of sand dunes in Salah al-Din Governorate* (page 17). Tikrit: College of Education.
- 7- Jassim Mohammed Al-Khalaf. (1961). *Author of the Natural, Economic and Human Geography of Iraq* (page 108). Cairo: 1st edition.
- 8- Jamal Muhammad Battah Al-Janabi. (2010). *Authoring a study of the stability of rock slopes and some geotectonic properties of the formations exposed in the Hamrin anticline northeast of Tikrit* (page 7). Tikrit: College of Science.

- 9- Hassan Abu Samour. (2005). Synthesis of Biogeography and Soils (Vol. 1, p. 234). Amman, Jordan: Dar Al Masirah.
- 10- Khalaf Hussein Al-Dulaimi. (2009). Formation of landforms, a geomorphological study (page 162). Jordan, Amman: Darsafa for Publishing and Distribution.
- 11- Sami Khudair Salman Al-Samarrai. (2010). Composing a spatial analysis of soil and its impact on agricultural land uses in the Tigris district (page 12). Tikrit: College of Education.
- 12- Sahab Khalifa Al-Samarrai. (No. 5, Volume 7, 2010). Soil salinity and its causes in the Rasasi project. Tikrit University Journal of Human Sciences, page 538.
- 13- Saad Ajeel Mubarak. (2010). Writing Basics of Geomorphology (page 169). Jordan, Amman: Treasures of Knowledge Press.
- 14- Sabbar Abdullah Saleh Al-Qaisi. (1992). Synthesis of the hydrological conditions of the secondary Ajil Basin in northern Iraq (page 90). Baghdad: College of Science, University of Baghdad.
- 15- Salah Hamid Al-Janabi. (2005). Composition of the regional geography of Iraq (page 98). Mosul: University of Mosul.
- 16- Ed Hussein Ward. (2012). Composing the compositional analysis and its tectonic implications for the Dome of Al-Fudul in the northern Hamrin anticline (page 8). Tikrit: College of Science, Tikrit University.
- 17- Abdel Fattah Al-Ani. (1980). Writing the basics of soil science (page 51). Mosul: Dar Al-Kutub, Mosul.
- 18- Abdel Fattah, Dalal Siddiq, Ali Siddiq and Zarifat. (2006). Written by Contemporary Physical Geography, 1st edition (page 262). Riyadh: Arab Publisher House.
- 19- Abdul Karim Rashid Abdul Latif Al-Janabi. (2001). Compilation of the spatial variation of agricultural land uses in the districts of Balad, Al-Dur and Tuz Khurmatu (page 53). Baghdad: College of Arts.
- 20- Ali Hussein Al Shalash. (1985). Composition of Soil Geography (page 103). Basra: Basra Press, 2nd edition.
- 21- Ali Ali Al-Banna. (2000). Compilation of Environmental Problems and Conservation of Natural Resources, 1st edition (page 156). Cairo: Dar Al-Fikr Al-Arabi, Ain Shams University.
- 22- Ali, Mahmoud Abdel Aziz, Hamada Al-Azzawi, Al-Jubouri. (Vol. 2, No. 2, 2006). Climate drought and its environmental impacts. Secret of Ray, page 86.
- 23- Kamila Karim Yassin. (2002). Composition of the applied geomorphology of the area between Al-Fatha and Al-Dur, east of the Tigris (page 20). Baghdad: University of Baghdad, College of Education, Ibn Rushd.
- 24- Majed Al-Sayed Wali. (Vol. 13, 1982). Dust storms in Iraq and their conditions. Journal of the Iraqi Geographical Society, page 69.
- 25- Muhammad Khudair Abbas. (1989). Composition on soil development and morphology (page 103). Mosul: University of Mosul, College of Agriculture.
- 26- Mayada Ahmed Abdullah Al-Jubouri. (2013). Authorship of the role of sand dunes in groundwater recharge in the Naameh area / southeast of Tikrit (page 8). Tikrit: College of Science.
- 27- Noman is a beggar. (2009). Climatology Synthesis (page 281). Al-Adran, Amman: Dar Safa for Publishing and Distribution.
- 28- Wafiq Hussein Al-Khashab and others. (1983). Composition on water resources in Iraq (page 21). Baghdad: Baghdad Press.